



## INSTALLAZIONE DI ANTENNE IN AMBIENTE OPERATIVO COMPLESSO

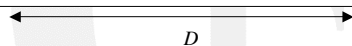
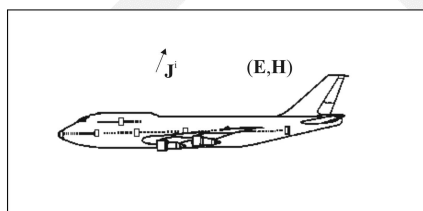
Giuseppe Pelosi  
Dipartimento di Elettronica e Telecomunicazioni  
Università di Firenze  
E-mail: [giuseppe.pelosi@unifi.it](mailto:giuseppe.pelosi@unifi.it)  
URL: <http://ingfi9.det.unifi.it/>



1. Problema di antenna e problema radar
2. Teorie geometriche
3. Limiti della UTD per problemi di RCS
4. Esempi di applicazione della UTD



1. Problema di antenna e problema radar
2. Teorie geometriche
3. Limiti della UTD per problemi di RCS
4. Esempi di applicazione della UTD



$$D \gg \lambda$$

D sono le dimensioni caratteristiche della struttura

Nel *problema di antenna* la distribuzione di corrente nota  $J^i$  (antenna) è posta al finito rispetto alla struttura e si vuole determinare il campo in zona vicina-lontana.

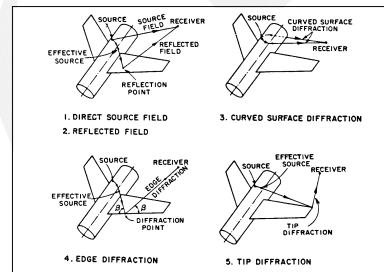


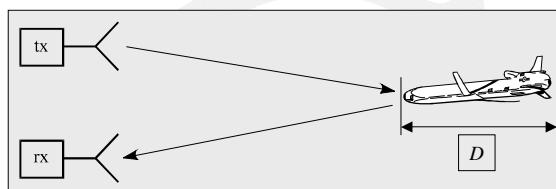
Per il problema d'antenna si utilizzano le teorie geometriche in cui si approssima a priori il campo elettromagnetico scomponendo il problema in un insieme di problemi canonici.

$$\mathbf{E}^S \cong \mathbf{E}^{go} + \mathbf{E}^d$$

$\mathbf{E}^{go}$  campo di ottica geometrica (Geometrical Optics, GO)

$\mathbf{E}^d$  campo diffratto che si calcola con la teoria geometrica della diffrazione nella sua versione uniforme (Uniform Geometrical Theory of Diffraction, UTD)





$$D \gg \lambda$$

D sono le dimensioni  
caratteristiche della struttura

Nel problema *radar* la struttura è supposta illuminata da  
un'onda piana e si vuole determinare il campo lontano



## ...E PROBLEMA RADAR

Per il *problema radar* si utilizzano le teorie fisiche in cui si approssimano *a priori* le correnti indotte sul bersaglio supposto illuminato da un'onda piana e il campo reirradiato può essere determinato mediante l'integrale di radiazione

$$\mathbf{J}^{tot} = \mathbf{J}^{PO} + \mathbf{J}^f \rightarrow \mathbf{E}^s = \mathbf{E}^{PO}(\mathbf{J}^{PO}) + \mathbf{E}^f(\mathbf{J}^f)$$

$\mathbf{J}^{PO}$  è la corrente di ottica fisica (Physical Optics, PO)

$\mathbf{J}^f$  è la corrente di frange che si determina mediante la teoria fisica della diffrazione (Physical Theory of Diffraction, PTD)



1. Problema di antenna e problema radar

2. Teorie geometriche

3. Limiti della UTD per problemi di RCS

4. Esempi di applicazione della UTD





1. Ottica geometrica (*Geometrical Optics*, GO)
2. Teoria geometrica della diffrazione nella sua versione uniforme (*Uniform Geometrical Theory of Diffraction*, UTD)



$$\mathbf{E}^S \cong \mathbf{E}^{go} + \mathbf{E}^d$$

Il campo  $\mathbf{E}^{GO}$  è calcolato mediante l'ottica geometrica (*Geometrical Optics*, GO)

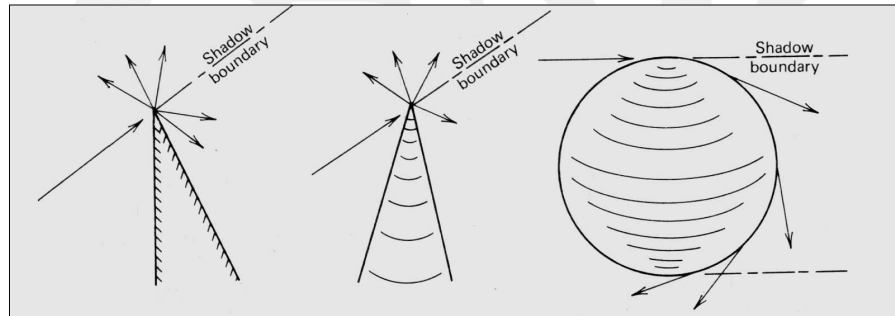
Il campo diffratto  $\mathbf{E}^d$  è calcolato mediante la *Geometrical Theory of Diffraction* (GTD), Keller, 1962, nella sua versione uniforme (*Uniform Geometrical Theory of Diffraction*, UTD), R.G. Kouyoumjian, P.H. Pathak, 1974



1. Problemi canonici
2. Dai problemi canonici ai problemi ingegneristici

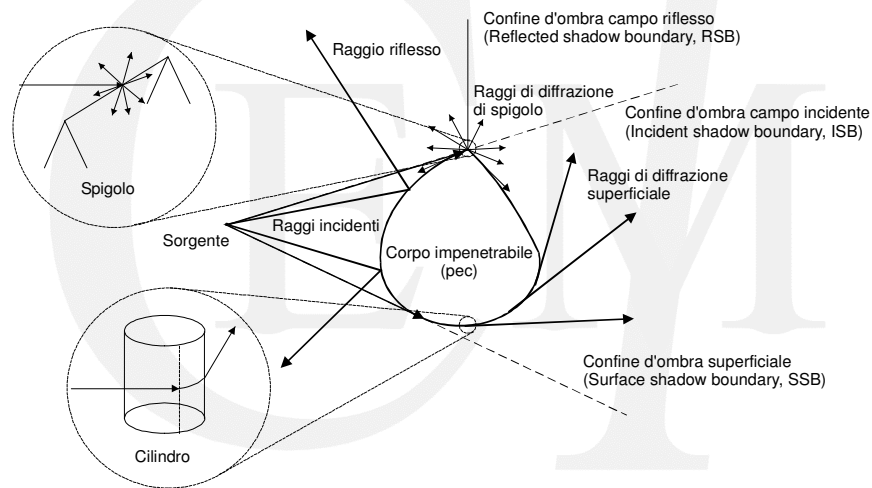


Nelle teorie geometriche il campo totale è somma del campo dell'ottica geometrica e del campo diffratto. Il campo diffratto è generato dalle discontinuità geometriche/elettriche presenti nella struttura





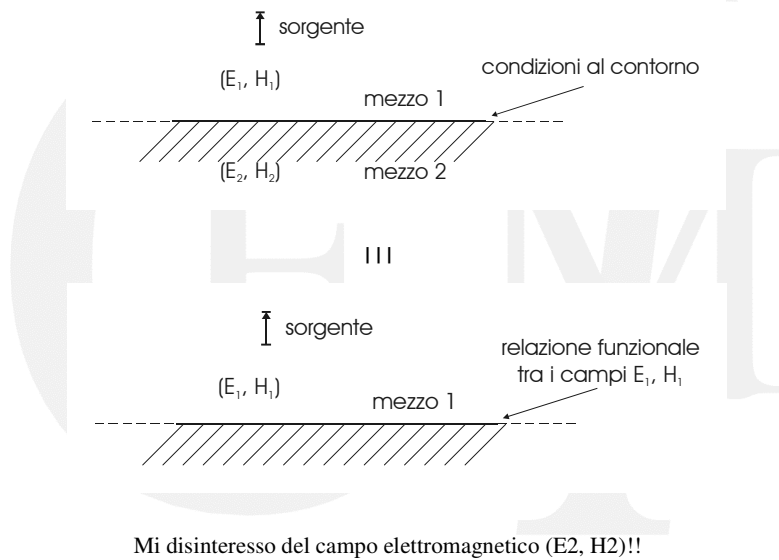
Il campo totale è dato dalla sovrapposizione dei contributi, associati ai vari problemi canonici, che possono contribuire al campo elettromagnetico (spigolo o *wedge*, cilindro, vertice o *corner*, *tip*, etc.)





I problemi canonici approssimano localmente la struttura nelle sue forme geometriche e nelle sue caratteristiche elettriche

Le strutture sono in genere considerate non penetrabili (corpi perfettamente conduttori, corpi sulla cui superficie sono valide le condizioni di impedenza o di Shchukin-Leontovich, ecc.)





La relazione funzionale tra i campi elettromagnetici ( $\mathbf{E}^1, \mathbf{H}^1$ ) ed ( $\mathbf{E}^2, \mathbf{H}^2$ ) in corrispondenza della superficie di interfaccia tra i due mezzi è del tipo:

$$\mathbf{E}_1 - (\hat{n} \cdot \mathbf{E}_1) \hat{n} = Z_s (\hat{n} \times \mathbf{H}_1)$$

o alternativamente

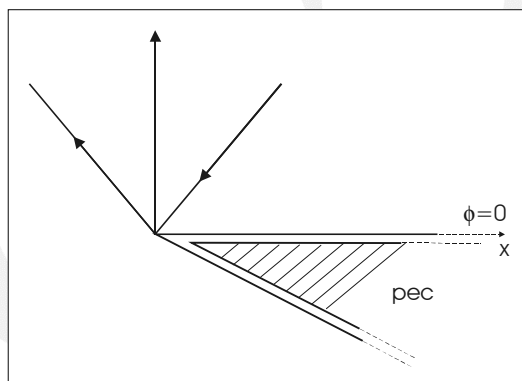
$$\hat{n} \times \mathbf{E}_1 = Z_s \hat{n} \times (\hat{n} \times \mathbf{H}_1)$$

$Z_s$  è l'impedenza superficiale che lega la componente tangente del campo elettrico nel mezzo 1 alla corrente elettrica superficiale indotta all'interfaccia tra i due mezzi ( $Z_s=0$ , caso perfettamente conduttore)





Diedro conduttore ricoperto da un dielettrico





IN REGIME DI ALTA FREQUENZA IL FENOMENO DOMINANTE E'  
ASSOCIATO ALLA REIRRADIAZIONE DA

WEDGE



Equazioni di Maxwell

$$\nabla \times \mathbf{H} = j\omega\epsilon\mathbf{E}$$

$$\nabla \times \mathbf{E} = -j\omega\mu\mathbf{H}$$

Sostituendo la seconda nella prima e viceversa si può agevolmente riscrivere:

$$\nabla \times \nabla \times \mathbf{E} - k^2 \mathbf{E} = 0$$

$$\nabla \times \nabla \times \mathbf{H} - k^2 \mathbf{H} = 0$$



$$\nabla(\nabla \cdot \mathbf{E}) - \nabla^2 \mathbf{E} - k^2 \mathbf{E} = 0$$

$$\nabla(\nabla \cdot \mathbf{H}) - \nabla^2 \mathbf{H} - k^2 \mathbf{H} = 0$$



$$\begin{aligned}\nabla \cdot \mathbf{E} &= 0 \\ \nabla \cdot \mathbf{H} &= 0\end{aligned}$$

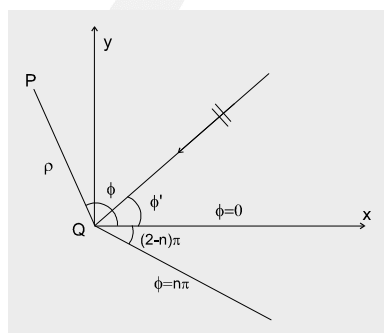


$$\begin{aligned}\nabla^2 E_z + k^2 E_z &= 0 \\ \nabla^2 H_z + k^2 H_z &= 0\end{aligned}$$

$$\begin{aligned}\left(k^2 + \frac{\partial^2}{\partial z^2}\right) E_x &= \frac{\partial^2}{\partial x \partial z} E_z - j\omega\mu \frac{\partial}{\partial y} H_z \\ \left(k^2 + \frac{\partial^2}{\partial z^2}\right) E_y &= \frac{\partial^2}{\partial y \partial z} E_z + j\omega\mu \frac{\partial}{\partial x} H_z \\ \left(k^2 + \frac{\partial^2}{\partial z^2}\right) H_x &= \frac{\partial^2}{\partial x \partial z} H_z + j\omega\mu \frac{\partial}{\partial y} E_z \\ \left(k^2 + \frac{\partial^2}{\partial z^2}\right) H_y &= \frac{\partial^2}{\partial y \partial z} H_z - j\omega\mu \frac{\partial}{\partial x} E_z\end{aligned}$$

se la dipendenza dei campi dalla coordinata  $z$  è fissata, si ottiene:

$$E_x, H_y, E_y, H_x \text{ funzione di } (E_z, H_z)$$



§ Caso  $TE_z$  (campo elettrico trasverso rispetto all'asse  $z$ )

$$\mathbf{E}_z = 0$$

$$\mathbf{H}^i = H_z^i \hat{z}$$

Caso *Hard*

(condizioni di Neumann)

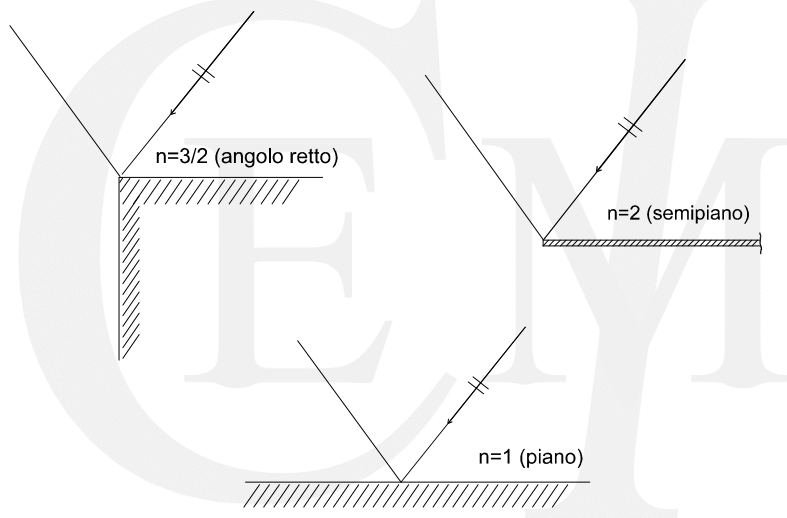
§ Caso  $TM_z$  (campo magnetico trasverso rispetto all'asse  $z$ )

$$\mathbf{H}_z = 0$$

$$\mathbf{E}^i = E_z^i \hat{z}$$

Caso *Soft*

(condizioni di Dirichlet)





Installazione di antenne in ambiente operativo complesso

## WEDGE PERFETTAMENTE CONDUTTORE (CASO 2D, $n=2$ , il problema di A. Sommerfeld)



Compatibilità Elettromagnetica I A. A. 2006-07  
Prof. G. Pelosi - Laboratorio di Elettromagnetismo Numerico  
Dipartimento di Elettronica e Telecomunicazioni - Università di Firenze

### ANNOUNCEMENT TO THE AP-S MEMBERS

#### Special *Electromagnetics* Issue Commemorating the 100<sup>th</sup> Anniversary of Sommerfeld's Diffraction Problem

A Special Issue of *Electromagnetics*<sup>1</sup> is scheduled at the beginning of 1998 (combined No. 2 and No. 3 issues). This issue is intended to commemorate Sommerfeld's<sup>2</sup> half-plane diffraction paper<sup>3</sup> published in 1896. Sommerfeld was the first to develop the exact solution of the diffracted field by a metallic half plane and for this contribution he can be considered as the founder of the rigorous mathematical theory of diffraction. This Special issue contains many papers on high frequency methods (by active researchers in the field) providing a glimpse on their modern utility to problems of radiation and scattering. The issue includes a biography of Sommerfeld and a historical note on diffraction theory over the past century.



Sommerfeld's portrait (in youth and a couple years before his death)

The Special issue is edited by

Giuseppe Pelosi  
University of Florence  
E-mail: [pelosi@ingfi.eng.unifi.it](mailto:pelosi@ingfi.eng.unifi.it)  
URL: <http://ing09.die.unifi.it/>

John L. Volakis  
University of Michigan  
E-mail: [volakis@umich.edu](mailto:volakis@umich.edu)  
URL: <http://www.personal.engin.umich.edu/~volakis/>

<sup>1</sup> *Electromagnetics* (ISSN 0272-6543) is a quarterly journal published by Taylor and Francis, 1900 Frost Rd. Suite 101, Bristol, PA 19007, USA; Phones: (215) 785-5800 in USA and +44-298-840766 in Europe.  
<sup>2</sup> An exhaustive biography of Arnold Sommerfeld can be found in C.C. Gillispie (Ed.), *Dictionary of Scientific Biography*, Charles Scribner's Sons, New York, 1970-1980.  
<sup>3</sup> A. Sommerfeld, "Mathematische Theorie der Diffraction," *Mathematische Annalen*, Vol. 47, No. 5319, pp. 317-374, 1896.



campo incidente, Q punto di fase nulla

$$u^i(\rho, \phi) = e^{jk\rho \cos(\phi - \phi')}$$

$$u^i(\rho, \phi) = E_z^i(\rho, \phi) \quad \text{caso soft}$$

$$u^i(\rho, \phi) = H_z^i(\rho, \phi) \quad \text{caso hard}$$

campo totale

$$(\nabla_t^2 + k^2)u(\rho, \phi) = 0$$

$$\nabla_t^2 = \frac{1}{\rho} \frac{\partial}{\partial \rho} \left( \rho \frac{\partial}{\partial \rho} \right) + \frac{1}{\rho} \frac{\partial^2}{\partial \phi^2}$$

$$u(\rho, \phi) = E_z(\rho, \phi) \quad \text{caso soft}$$

$$u(\rho, \phi) = H_z(\rho, \phi) \quad \text{caso hard}$$

caso hard

$$\frac{1}{\rho} \frac{\partial u(\rho, \phi)}{\partial \phi} = 0 \quad \phi = 0$$

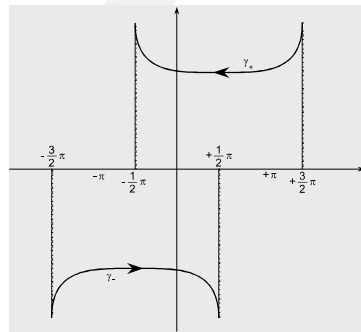
$$\frac{1}{\rho} \frac{\partial u(\rho, \phi)}{\partial \phi} = 0 \quad \phi = n\pi$$

caso soft

$$u(\rho, \phi) = 0 \quad \phi = 0$$

$$u(\rho, \phi) = 0 \quad \phi = n\pi$$





Rappresentazione integrale del campo totale di Sommerfeld-Maliuzhinets

$$u(\rho, \phi) = \frac{1}{2\pi j} \int_{\gamma} s(\alpha + \phi - n\pi/2) e^{jk\rho \cos \alpha} d\alpha$$

$\gamma = \gamma^+ + \gamma^-$  contorno di integrazione di Sommerfeld

$s(\alpha)$  funzione spettrale

$$|s(\alpha) - s(\pm j\infty)| < \exp(-a|\Im(\alpha)|), \quad a > 0$$

con  $\Im(\alpha) \rightarrow \pm\infty$



Si deve determinare la funzione spettrale che dipende dalle condizioni al contorno del campo elettromagnetico totale sulla superficie del wedge  $\phi = 0$  e  $\phi = n\pi$

$$u(\rho, \phi) = 0 \quad \phi = 0$$

$$\frac{1}{2\pi j} \int_{\gamma} s(\alpha - n\pi/2) e^{jk\rho \cos \alpha} d\alpha = 0$$

$$\begin{cases} s(\alpha - n\pi/2) = s(-\alpha - n\pi/2) \\ s(\alpha + n\pi/2) = s(-\alpha + n\pi/2) \end{cases}$$

sistema di equazioni  
funzionali alle differenze

$$u(\rho, \phi) = 0 \quad \phi = n\pi$$

$$\frac{1}{2\pi j} \int_{\gamma} s(\alpha + n\pi/2) e^{jk\rho \cos \alpha} d\alpha = 0$$

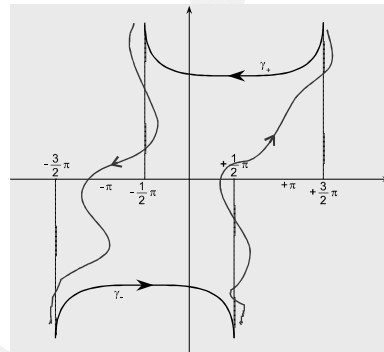
$$\frac{1}{n} \frac{2 \cos(\alpha/n)}{\sin(\alpha/n) - \sin(\phi'/n)} =$$

$$= \cot\left(\frac{n\pi - \alpha - \phi'}{2n}\right) - \cot\left(\frac{\alpha - \phi'}{2n}\right)$$

soluzione del sistema



Trovata la funzione spettrale, si pone il problema del calcolo dell'integrale che si risolve applicando il teorema di Cauchy e si pone il problema di come scegliere i cammini di chiusura  $C_1$  e  $C_2$



$$\frac{1}{2\pi j} \int_{\gamma} s(\alpha + \phi - n\pi/2) e^{jk\rho \cos \alpha} d\alpha + \frac{1}{2\pi j} \int_{C_1} s(\alpha + \phi - n\pi/2) e^{jk\rho \cos \alpha} d\alpha +$$
$$+ \frac{1}{2\pi j} \int_{C_2} s(\alpha + \phi - n\pi/2) e^{jk\rho \cos \alpha} d\alpha = \text{somma dei residui dei poli}$$



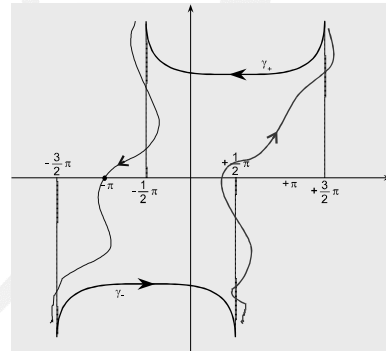
Si scelgono i cammini  $C_1$  e  $C_2$  di chiusura in modo che passino per i punti di sella

$$I(k\rho) = \int_{C_1} e^{k\rho f(\alpha)} F(\alpha) d\alpha$$

$$f(\alpha) = f_R(\alpha) + jf_I(\alpha) = j\cos\alpha$$

$$F(\alpha) = s(\alpha + \phi - n\pi/2)$$

$$\frac{df(\alpha)}{d\alpha} = 0 \text{ punto di sella } \alpha = \alpha_s = \pm\pi$$





Tra tutti i possibili cammini  $C_1$  e  $C_2$  passanti per i punti di sella si sceglie quello tale che:

$$I(k\rho) = \int_{C_1} e^{k\rho f(\alpha)} F(\alpha) d\alpha$$

$$f(\alpha) = f_R(\alpha) + j f_I(\alpha) = j \cos \alpha$$

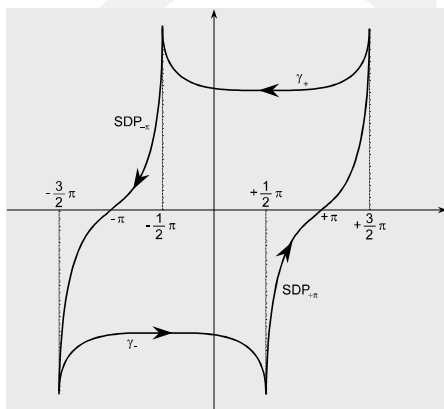
$$f_R(\alpha) = f_R(\alpha = \alpha_s) - s^2$$

$$f_I(\alpha) = f_I(\alpha = \alpha_s)$$

$$F(\alpha) = F(\alpha = \alpha_s) - s^2$$

$$I(k\rho) = e^{k\rho f(\alpha_s)} \int_{-\infty}^{+\infty} \phi(s) e^{-k\rho s^2} ds$$

$$\phi(s) = F(\alpha) \frac{d\alpha(s)}{ds}$$



**Steepest Descent Paths, SDP**

$$SDP_{+\pi} \quad Re(\alpha) = +\pi - gd[Im(\alpha)]$$

$$SDP_{-\pi} \quad Re(\alpha) = -\pi - gd[Im(\alpha)]$$

$$gd(x) = \cos^{-1}[\cosh(x)]$$

Gudermann function



$$\frac{1}{2\pi j} \int_{\gamma} s(\alpha + \phi - n\pi/2) e^{jk\rho \cos \alpha} d\alpha + \frac{1}{2\pi j} \int_{SDP_{+\pi}} s(\alpha + \phi - n\pi/2) e^{jk\rho \cos \alpha} d\alpha +$$

$$+ \frac{1}{2\pi j} \int_{SDP_{-\pi}} s(\alpha + \phi - n\pi/2) e^{jk\rho \cos \alpha} d\alpha = \sum_n r_n$$

$r_n$  sono i residui nella fascia  $-\pi - gd[Im(\alpha)] < Re(\alpha) < +\pi - gd[Im(\alpha)]$

$$u(\rho, \phi) = \frac{1}{2\pi j} \int_{\gamma} s(\alpha + \phi - n\pi/2) e^{jk\rho \cos \alpha} d\alpha = u^d(\rho, \phi) + u^{go}(\rho, \phi)$$

$$u^{go}(\rho, \phi) = \sum_n r_n$$

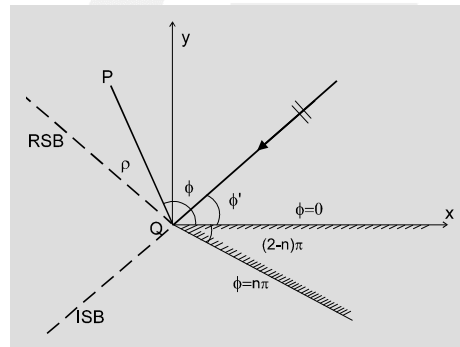
campo dell'ottica geometrica

$$u^d(\rho, \phi) = -\frac{1}{2\pi j} \int_{SDP_{+\pi}} s(\alpha + \phi - n\pi/2) e^{jk\rho \cos \alpha} d\alpha - \frac{1}{2\pi j} \int_{SDP_{-\pi}} s(\alpha + \phi - n\pi/2) e^{jk\rho \cos \alpha} d\alpha$$

campo diffratto



Fissata la direzione d'incidenza e il punto di osservazione è fissata la localizzazione nel piano-a dei poli

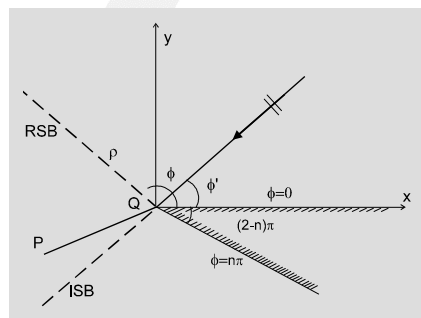


I poli possono essere intercettati o non dalla chiusura del cammino di Sommerfeld attraverso i due **SDP**

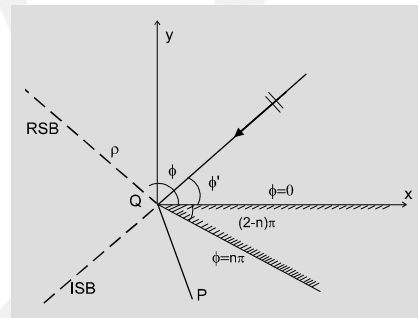
I contributi dei residui dei poli intercettati dall'applicazione del teorema di Cauchy forniscono il contributo della GO

2 poli = campo diretto + campo riflesso





1 poli = campo diretto in P



0 poli = il campo di GO è nullo in P



Il campo dell'Ottica Geometrica è discontinuo!!

$$u^i(\rho, \phi) h[\pi - (\phi - \phi')] + u^r(\rho, \phi) h[\pi - (\phi + \phi')]$$

$$u^i(\rho, \phi) = e^{jk\rho \cos(\phi - \phi')} \quad \text{campo incidente}$$

$$u^r(\rho, \phi) = -e^{jk\rho \cos(\phi + \phi')} \quad \text{campo riflesso}$$

Si deve introdurre il campo diffratto per rendere continuo  
il campo totale

$$u^d(\rho, \phi) = -\frac{1}{2\pi j} \int_{SDP_{+\pi}} s(\alpha + \phi - n\pi/2) e^{jk\rho \cos \alpha} d\alpha - \frac{1}{2\pi j} \int_{SDP_{-\pi}} s(\alpha + \phi - n\pi/2) e^{jk\rho \cos \alpha} d\alpha$$



$$u^d(\rho, \phi) = -\frac{1}{2\pi j} \int_{SDP_{+\pi}} s(\alpha + \phi - n\pi/2) e^{jk\rho \cos \alpha} d\alpha - \frac{1}{2\pi j} \int_{SDP_{-\pi}} s(\alpha + \phi - n\pi/2) e^{jk\rho \cos \alpha} d\alpha$$

Si devono valutare in modo efficiente i due integrali lungo i due SDP passanti attraverso i due punti di sella  $\alpha_s$

$$\alpha = \alpha_s = \pm\pi$$

Per fare questo si utilizza il metodo SDP nella versione modificata di Pauli-Clemmow

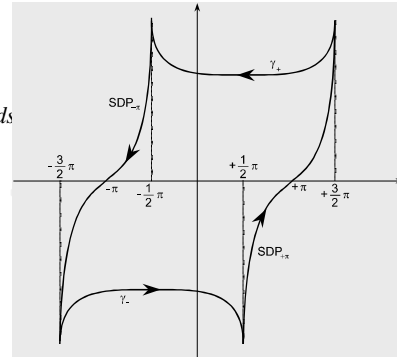
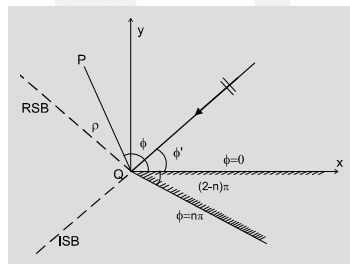


$$I(k\rho) = \int_{SDP_{-\pi}} e^{k\rho f(\alpha)} F(\alpha) d\alpha = e^{k\rho f(\alpha_s)} \int_{-\infty}^{+\infty} \phi(s) e^{-k\rho s^2} ds$$

$$f(\alpha) = f_R(\alpha) + jf_I(\alpha) = j \cos \alpha$$

$$\phi(s) = F(\alpha) \frac{d\alpha}{ds}$$

$$F(\alpha) = s(\alpha + \phi - n\pi/2)$$



La funzione  $F(\alpha)$  ha poli sull'asse reale ( $\alpha=\alpha_p$ ) ed i residui dei poli corrispondono ai contributi di GO

I poli possono passare per il punto di sella  $\alpha = \alpha_s = \pm\pi$  e questo avviene quando il punto di osservazione è vicino ai confini RSB e ISB



$$\alpha = \alpha_p \text{ polo}$$

$$G(s) = F(\alpha) \frac{d\alpha}{ds} [f(\alpha) - f(\alpha = \alpha_p)]$$

$$G(s) = \sum_{s=0}^{\infty} c_m s^m$$

$$f(\alpha) - f(\alpha = \alpha_p) = f(\alpha = \alpha_s) - f(\alpha = \alpha_p) + s^2 = (s^2 + ja)$$

$$a = j [f(\alpha = \alpha_s) - f(\alpha = \alpha_p)]$$

$$\int_{-\infty}^{+\infty} F(\alpha) \frac{d\alpha(s)}{ds} e^{-k\rho s^2} ds = \int_{-\infty}^{+\infty} \frac{G(s)}{s^2 + ja} e^{-k\rho s^2} ds \cong -c_0 \int_{-\infty}^{+\infty} \frac{e^{-k\rho s^2}}{s^2 + ja} ds, \quad k\rho \gg 1$$

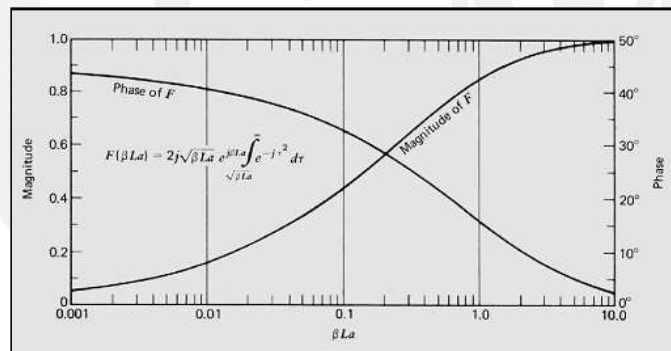
$$\int_{-\infty}^{+\infty} \frac{e^{-k\rho s^2}}{s^2 + ja} ds = 2e^{k\rho a} \sqrt{\frac{\pi}{a}} \int_{\sqrt{k\rho a}}^{+\infty} e^{-\tau^2} d\tau$$

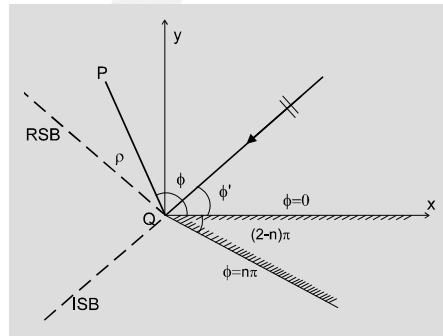


$$2e^{k\rho a} \sqrt{\frac{\pi}{a}} \int_{\sqrt{k\rho a}}^{+\infty} e^{j\tau^2} d\tau$$

Questo integrale viene in genere scritto utilizzando la  
funzione di transizione

$$F(X) = 2j \sqrt{|X|} e^{jX} \int_{\sqrt{|X|}}^{\infty} e^{-j\tau^2} d\tau$$





$$u(\rho, \phi) = E_z(\rho, \phi)$$

$$u(\rho, \phi) = u^d(\rho, \phi) + u^{go}(\rho, \phi)$$

$$u^{go}(\rho, \phi) = u^i(\rho, \phi) + u^r(\rho, \phi)$$

$$u^i(\rho, \phi) = e^{jk\rho \cos(\phi - \phi')} \quad \text{campo incidente}$$

$$u^r(\rho, \phi) = -e^{jk\rho \cos(\phi + \phi')} \quad \text{campo riflesso}$$

$$u^d(\rho, \phi) = D(\rho, \phi, \phi') \frac{e^{-jk\rho}}{\sqrt{\rho}} \quad \text{campo diffratto}$$

Coefficiente di diffrazione della UTD per un *wedge* perfettamente conduttore

$$u(\rho, \phi) = u^d(\rho, \phi) + u^{go}(\rho, \phi)$$

$$u^d(\rho, \phi) = D(\rho, \phi, \phi') \frac{e^{-jk\rho}}{\sqrt{\rho}} \quad \text{campo diffratto}$$

$$D(\rho, \phi, \phi') = \frac{e^{-j(\pi/4)}}{2n\sqrt{2\pi k}} \times \left[ \cot\left(\frac{\pi + (\phi - \phi')}{2n}\right) F[k\rho a^+(\phi - \phi')] + \cot\left(\frac{\pi - (\phi - \phi')}{2n}\right) F[k\rho a^-(\phi - \phi')] \right] \mp \left[ \cot\left(\frac{\pi + (\phi + \phi')}{2n}\right) F[k\rho a^+(\phi + \phi')] + \cot\left(\frac{\pi - (\phi + \phi')}{2n}\right) F[k\rho a^-(\phi + \phi')] \right]$$

$$a^\pm(\phi \pm \phi') = 2 \cos^2 \left[ \frac{2n\pi N^\pm - (\phi \pm \phi')}{2} \right]$$

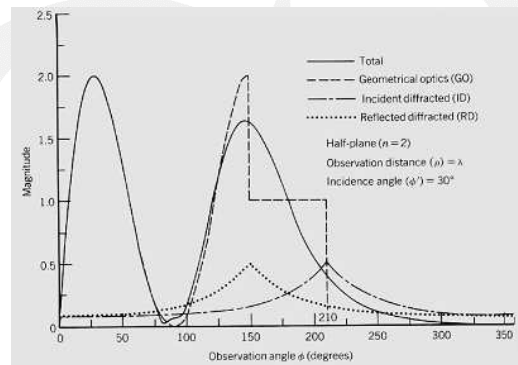
 $N^\pm$  interi che meglio soddisfano le relazioni:

$$\begin{cases} 2n\pi N^+ - (\phi \pm \phi') = \pi \\ 2n\pi N^- - (\phi \pm \phi') = -\pi \end{cases}$$





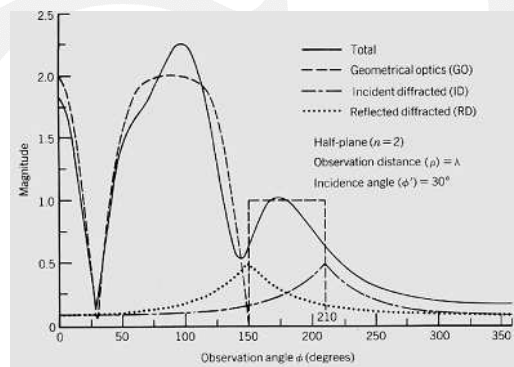
WEDGE PERFETTAMENTE CONDUTTORE (CASO 2D)



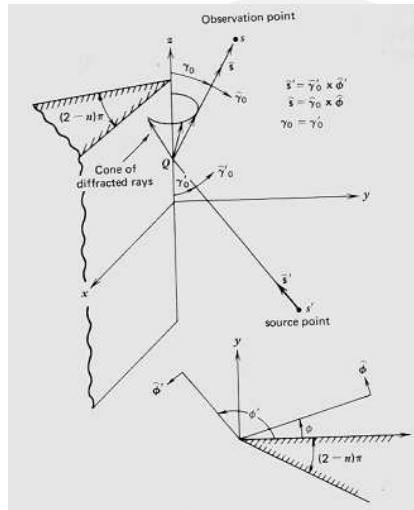
Distribuzione del campo elettrico dovuto ad un'onda piana incidente normalmente su un semipiano perfettamente conduttore (caso *soft*)



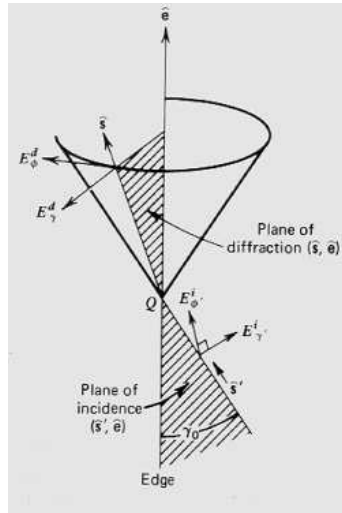
WEDGE PERFETTAMENTE CONDUTTORE (CASO 2D)



Distribuzione del campo magnetico dovuto ad un'onda piana incidente normalmente su un semipiano perfettamente conduttore (caso *hard*)



$$\begin{bmatrix} E_{\gamma}^d(s) \\ E_{\phi}^d(s) \end{bmatrix} = \begin{bmatrix} -D_{\parallel} & 0 \\ 0 & -D_{\perp} \end{bmatrix} \begin{bmatrix} E_{\gamma}^i(Q) \\ E_{\phi}^i(Q) \end{bmatrix} A(s) e^{-jks}$$



$$\mathbf{E}^d = [\mathbf{D}] \mathbf{E}^i A(s) e^{-jks}$$

$$\begin{bmatrix} E_{\parallel}^d(s) \\ E_{\perp}^d(s) \end{bmatrix} = \begin{bmatrix} -D_{\parallel} & 0 \\ 0 & -D_{\perp} \end{bmatrix} \begin{bmatrix} E_{\parallel}^i(Q) \\ E_{\perp}^i(Q) \end{bmatrix} A(s) e^{-jks}$$

$[\mathbf{D}] \rightarrow$  matrice coefficienti di diffrazione

$s \rightarrow$  distanza osservatore-punto di diffrazione

$A(s) \rightarrow$  fattore di *spreading*

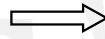


Coefficiente di diffrazione della UTD per un *wedge* perfettamente conduttore

$$D_{\perp}(L, \phi, \phi') = \frac{-e^{-j(\pi/4)}}{2n\sqrt{2\pi k} \sin \gamma'_0} \times \left[ \cot\left(\frac{\pi + (\phi - \phi')}{2n}\right) F[kLa^+(\phi - \phi')] + \cot\left(\frac{\pi - (\phi - \phi')}{2n}\right) F[kLa^-(\phi - \phi')] \mp \left\{ \cot\left(\frac{\pi + (\phi + \phi')}{2n}\right) F[kLa^+(\phi + \phi')] + \cot\left(\frac{\pi - (\phi + \phi')}{2n}\right) F[kLa^-(\phi + \phi')] \right\} \right]$$



Tipologia dell'onda incidente



$$L = \begin{cases} s \sin^2 \gamma_0 & \text{onda piana} \\ \frac{\rho' \rho}{\rho' + \rho} & \text{onda cilindrica} \\ \frac{s' s \sin^2 \gamma_0}{s' + s} & \text{onda sferica} \end{cases}$$

$$F(X) = 2j \sqrt{X} e^{jX} \int_{\sqrt{X}}^{\infty} e^{-j\tau^2} d\tau$$

$$a^{\pm}(\phi \pm \phi') = 2 \cos^2 \left[ \frac{2n\pi N^{\pm} - (\phi \pm \phi')}{2} \right]$$

$N^{\pm}$  interi che meglio soddisfano le relazioni:

$$\begin{cases} 2n\pi N^+ - (\phi \pm \phi') = \pi \\ 2n\pi N^- - (\phi \pm \phi') = -\pi \end{cases}$$



L'equazione che fornisce il campo diffratto dal *wedge* può essere riscritta

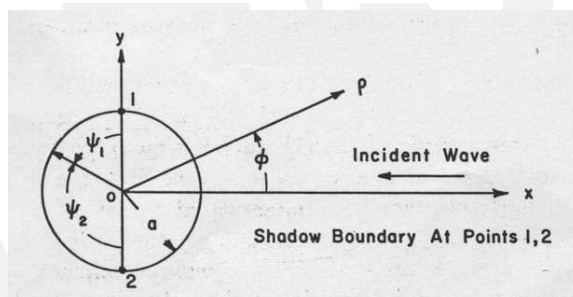
$$\begin{bmatrix} E_{\square}^d(s) \\ E_{\perp}^d(s) \end{bmatrix} = - \begin{bmatrix} -D_{\square} & 0 \\ 0 & -D_{\perp} \end{bmatrix} \begin{bmatrix} E_{\square}^i(Q) \\ E_{\perp}^i(Q) \end{bmatrix} A(s) e^{-j\beta s}$$

$$A(s) = \begin{cases} \frac{1}{\sqrt{s}} & \text{onde piane, cilindriche e coniche} \\ \sqrt{\frac{s'}{s(s+s')}} & \text{onde sferiche} \end{cases}$$

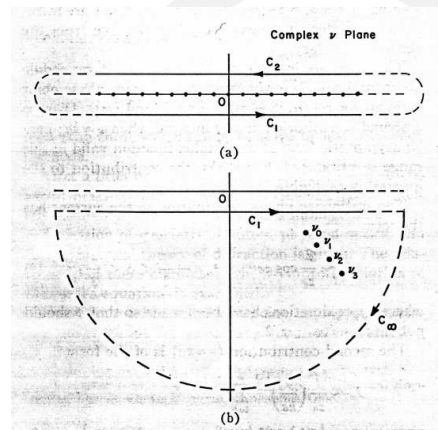


DIFFRAZIONE DA SUPERFICI CURVE-Creeping wave

$$E_z(\rho, \phi) = e^{-jk\rho \cos \phi} - \sum_{n=-\infty}^{+\infty} j^n \frac{J(ka)}{H_n^{(2)}(ka)} H_n^{(2)}(ka) e^{jn\phi}$$





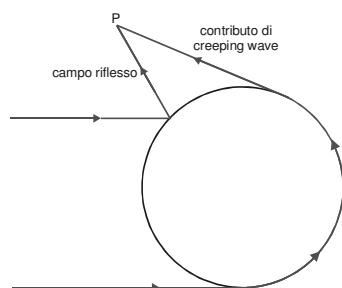


Trasformata di Watson

$$\frac{j}{2} \int_C \frac{e^{j\nu(\varphi+\pi)}}{\sin \nu\pi} f(\nu) d\nu = \sum_{n=-\infty}^{+\infty} f(n) e^{jn\varphi}$$



Contributo di fase stazionaria



$$\frac{j}{2} \int_c \frac{e^{jv(\varphi+\pi)}}{\sin v\pi} f(v) dv \cong \left( \frac{a}{2\rho} \sin \frac{\varphi}{2} \right)^{\frac{1}{2}} e^{-jk \left( \rho - 2a \sin \frac{\varphi}{2} \right)}$$

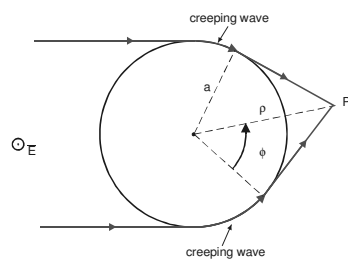


Campo riflesso



Calcolo dei residui

$$\frac{j}{2} \int_C \frac{e^{j\nu(\varphi+\pi)}}{\sin \nu\pi} f(\nu) d\nu = j\pi \sum_{n=1}^{+\infty} \frac{H_{\nu_n}^{(2)}(ka) H_{\nu_n}^{(2)}(k\rho)}{\frac{\partial}{\partial \nu} H_{\nu_n}^{(2)}(ka)} \left[ e^{-j\nu_n \left( \frac{\pi}{2} - \varphi \right)} + e^{-j\nu_n \left( \frac{\pi}{2} + \varphi \right)} \right] \Big|_{\nu=\nu_n}$$



$$\nu_n : H_{\nu_n}^{(2)}(ka) = 0$$

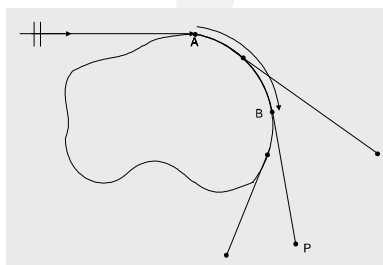
Convergenza rapida per  $-\frac{\pi}{2} + A \cos \frac{a}{\rho} < \varphi < \frac{\pi}{2} - A \cos \frac{a}{\rho}$



Creeping wave



$$E_{cw}^s = E_A^i L_A D_B G(s) \frac{e^{-jkl}}{\sqrt{l}} e^{-\int_A^B \gamma(s) ds}$$



$E_{cw}^s$  campo diffratto dovuto alla *creeping wave*

$L_A$  coefficiente di lancio nel punto A

$D_B$  coefficiente diffrazione nel punto B

$\gamma(s) = \alpha(s) + j\beta(s)$  (sfattore di propagazione di *creeping - wave*)

$s$  lunghezza arco lungo il percorso della *creeping - wave*

$G(s)$  fattore di divergenza dovuto alla geometria del raggio

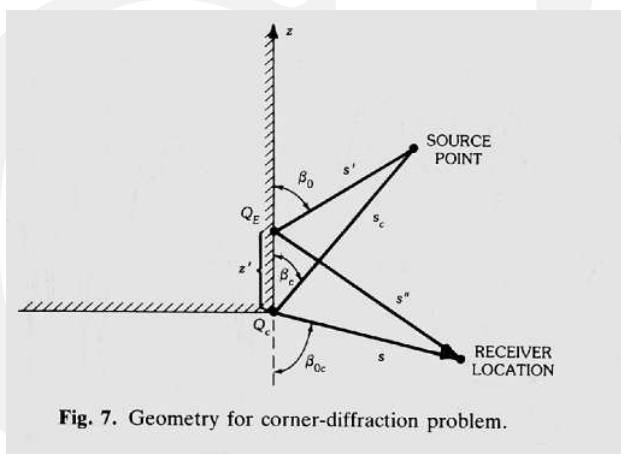
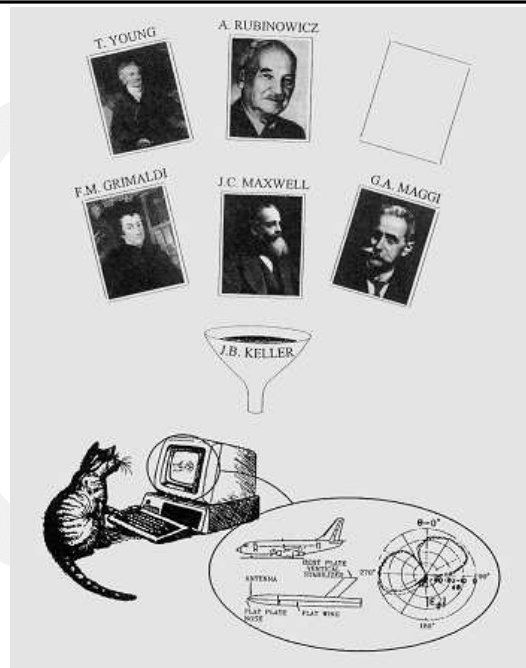


Fig. 7. Geometry for corner-diffraction problem.





## Geometrical Theory of Diffraction

Joseph B. Keller

The geometrical theory of diffraction is an extension of geometrical optics which accounts for diffraction. It introduces diffracted rays in addition to the usual rays of geometrical optics. These rays are produced by incident rays which hit edges, corners, or vertices of boundary surfaces, or which graze such surfaces. Various laws of diffraction, analogous to the laws of reflection and refraction, are employed to characterize the diffracted rays. A modified form of Fermat's principle, equivalent to these laws, can also be used.

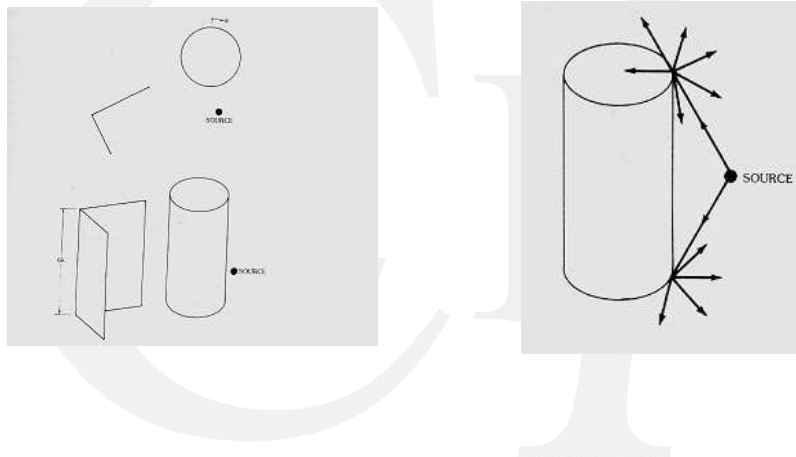
J.B. Keller, Geometrical Theory of Diffraction, *Journal of the Optical Society of America*, Vol. 52 n. 2, pp. 116-130, 1962

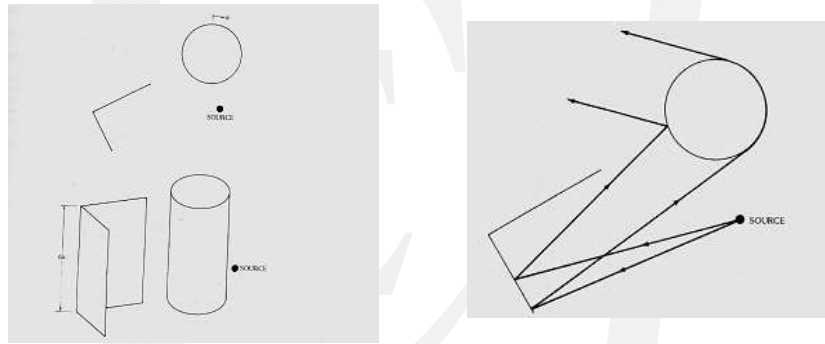


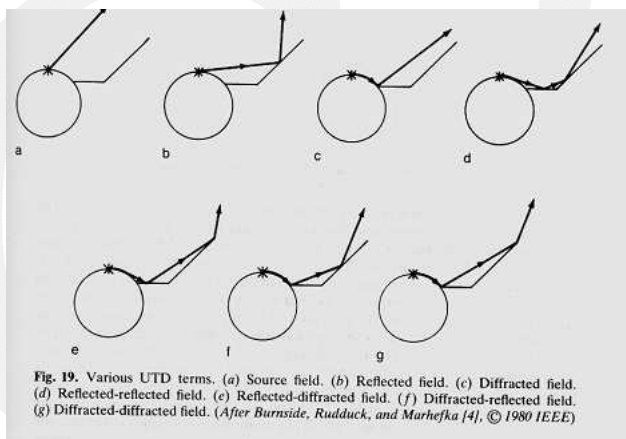
In pratica in regime di alta frequenza (ovvero quando le dimensioni della struttura sono grandi rispetto alla lunghezza d'onda) .....

- l'oggetto è scomposto in un insieme di problemi canonici (*wedge* o spigolo, cilindro, vertice o *corner*, *tip*, etc.) che approssimano localmente la struttura nelle sue caratteristiche geometriche ed elettriche
- il campo totale è la somma del campo di ottica geometrica e del campo diffratto associato ai vari problemi canonici
- fissati il punto di osservazione e il punto sorgente i problemi canonici che contribuiscono al campo totale sono individuati mediante il principio di Fermat generalizzato (*ray tracing*)



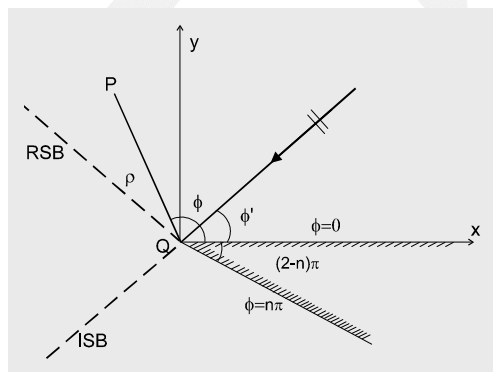








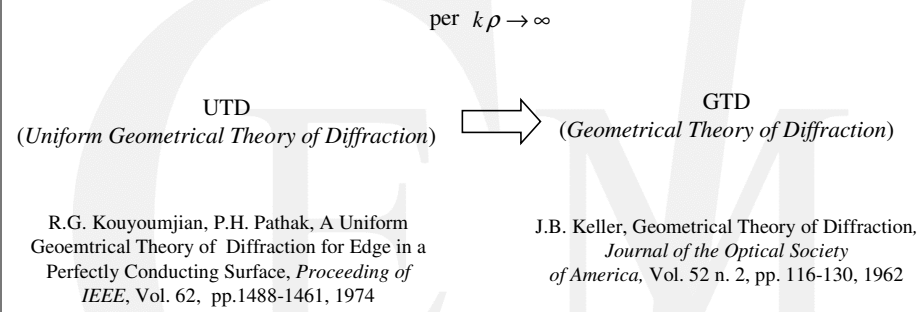
1. Problema di antenna e problema radar
2. Teorie geometriche
3. Limiti della UTD per problemi di RCS
4. Esempi di applicazione della UTD



per  $k\rho \rightarrow \infty$

$$F(x) = 1$$

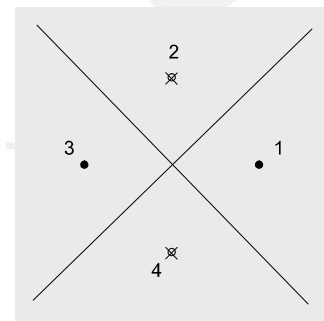
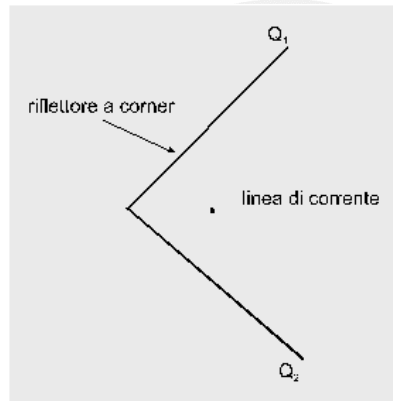
Per cui il campo diffratto diverge sui  
confini ISB e RSB



Ne consegue che la UTD non risulta utilizzabile per problemi radar!!



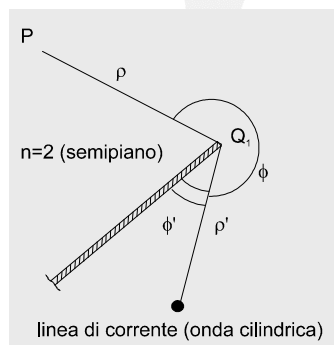
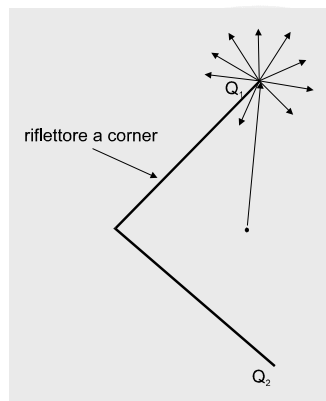
1. Problema di antenna e problema radar
2. Teorie geometriche
3. Limiti della UTD per problemi di RCS
4. Esempi di applicazione della UTD



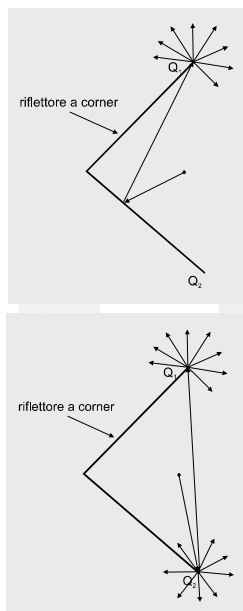
Campo della GO (principio delle immagini)

sorgente (1) - campo diretto  
sorgente (2) e (4) - riflesso  
sorgente (3) - campo doppiamente riflesso





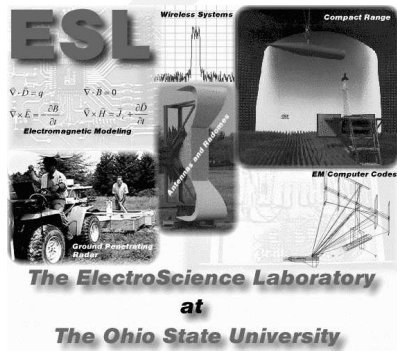
Il campo diffratto da  $Q_1$  compensa le discontinuità associate al campo delle sorgenti (1) e (2)



Problema canonico associato è il semipiano ( $n=2$ )

Il campo riflesso-diffratto compensa parte delle discontinuità associate al campo della sorgente (3) (doppiamente riflesso)

Il campo doppiamente diffratto compensa parte delle discontinuità associate al campo singolarmente diffratto



NEC - Basic Scattering Code

NEC-BSC Version 4.2

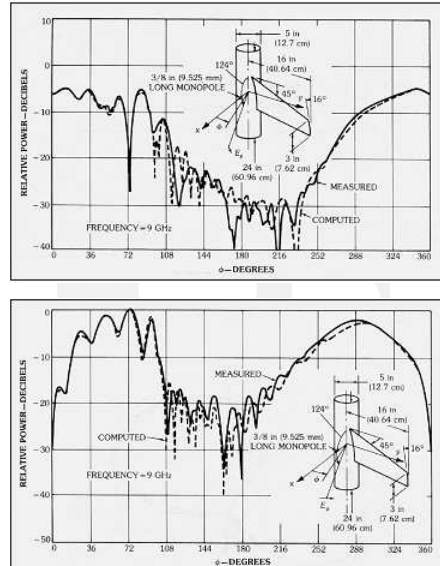
Ronald J. Marhefka

The Ohio State University  
ElectroScience Laboratory  
1370 Kinnear Road  
Columbus, OH 43212-1191  
Tel: +1-614-292-5752  
Fax: +1-614-292-7297  
Email: [marhefka.1@osu.edu](mailto:marhefka.1@osu.edu)

October 2000

The Numerical Electromagnetic Code - Basic Scattering Code (NEC-BSC V4.2) is a user-oriented computer code for the electromagnetic analysis of the radiation from antennas in the presence of complex structures at high frequency. For many practical sized structures this corresponds to UHF and above. The code can be used to predict patterns of antennas in the presence of scattering structures, to provide the EMC or coupling between antennas in a complex environment, and to determine potential radiation hazards. Simulation of the scattering structures is accomplished using combinations of multiple flat plates, finite elliptic cylinders, composite cone frustums, finite composite ellipsoids, and thin wires. The structures can be perfectly conducting or composed of multilayered materials. The plates can be transparent or opaque, that is, metal backed. The curved surfaces presently must be metal backed.

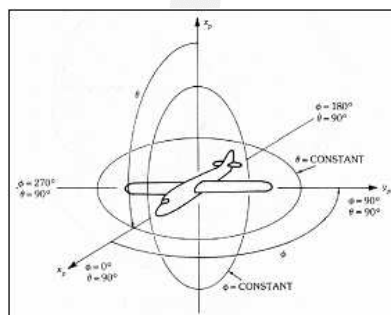
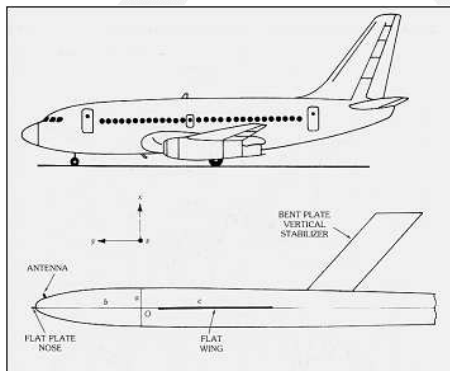
The analysis is based on uniform asymptotic techniques formulated in terms of the Uniform Geometrical Theory of Diffraction (UTD).



Confronto fra il pattern di campo vicino misurato e calcolato utilizzando la UTD. Sono mostrate le componenti  $E_\theta$  (figura in alto) ed  $E_\phi$  (figura in basso) del campo elettrico.

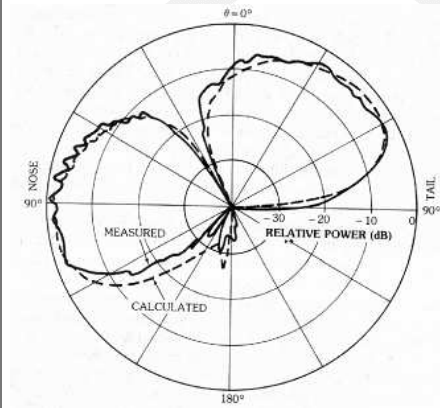


Confronto fra il *pattern* misurato e calcolato utilizzando la UTD, per un'antenna a monopolo montata sull'abitacolo di un Boeing 737

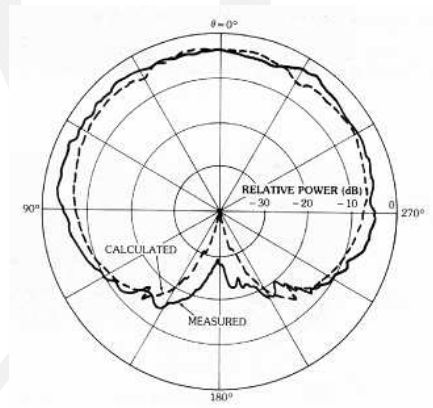


Sistema di coordinate usato per le misure

Profilo reale e modello utilizzato per l'analisi dell'aereo



Andamento del *pattern* sul piano di elevazione



Andamento del *pattern* sul piano azimutale